

РЕШЕНИЕ ЗАДАЧИ УСТОЙЧИВОСТИ СЖАТОЙ ОБОЛОЧКИ
В УСЛОВИЯХ ПОЛЗУЧЕСТИ ИО ГИПОТЕЗЕ УПРОЧНЕНИЯ

A. П. Кузнецов

(Новосибирск)

Для описания ползучести алюминиевых сплавов при переменных напряжениях гипотеза упрочнения, использующая уравнение состояния в виде

$$\Phi(\sigma_i, p_i, p_i') = 0 \quad (p_i = dp_i/dt)$$

будет более приемлемой, чем гипотеза старения или гипотеза течения.

В работах [1, 2] показано, что принятие гипотезы упрочнения для решения задачи устойчивости стержня позволяет сформулировать критерии устойчивости, по которым критическое время не зависит от величины начального прогиба.

В работе [1] предложена постановка задачи устойчивости стержней на основе критерия $\tau' = 0$, где τ' — прогиб стержня ($\tau' = dt/dt$). Смысл предложенного критерия состоит в том, что если приложить к первоначально прямолинейному стержню некоторую произвольную нагрузку и затем снять ее, то в зависимости от величины осевой деформации ползучести, наложенной к моменту снятия нагрузки, прогибы стержня будут либо убывать, либо возрастать.

За критический момент времени принимается время, когда для рассматриваемого движения прогибы не убывают и не возрастают, т. е. $\tau' = 0$.

В работе [2] рассматриваются движения стержня под воздействием прикладываемых в различные моменты времени возмущений в виде остаточного прогиба. оказывается, если приложить возмущения указанного типа до некоторого момента времени, показываемого критическим, то скорость прогиба будет убывать, а если приложить после него, то скорость прогиба будет возрастать. Критическое время определяется условием $\tau'' = 0$.

В данной работе на основе уравнения состояния получено решение задачи устойчивости круговой цилиндрической оболочки при продольном сжатии как по критерию работы [1], так и по критерию работы [2]. При этом получены решения в предположении, что для описания сложного напряженного состояния справедливы соотношения типа теории деформаций и в предположении, что справедливы соотношения типа теории течения.

§ 1. Предположим, что между составляющими тензора деформаций и девиатора напряжений имеют место соотношения теории деформаций

$$\varepsilon_{ij} = \frac{3}{2} \frac{\varepsilon_i}{\sigma_i} \sigma_{ij}^* \quad \left(\varepsilon_i^2 = \frac{2}{3} \varepsilon_{ij} \varepsilon_{ij} \right) \quad (1.1)$$

Интенсивность деформаций ползучести p_i определим через интенсивность деформаций и интенсивность напряжений соотношением

$$p_i = \varepsilon_i - \frac{\sigma_i}{E} \quad (1.2)$$

Линеаризуя, как и в работе [1], уравнение состояния и уравнение (1.1) по сечению, получим

$$\delta\sigma_i = A \delta\varepsilon_i, \quad \delta\sigma_{ij}^* = \alpha_{ij}^* \left(A - \frac{\sigma_i}{\varepsilon_i} \right) \delta\varepsilon_i + \frac{2}{3} \frac{\sigma_i}{\varepsilon_i} \delta\varepsilon_{ij} \quad \left(\alpha_{ij}^* = \frac{\sigma_{ij}^*}{\sigma_i} \right) \quad (1.3)$$

Здесь A — оператор.

Запишем уравнения движения оболочки в условиях ползучести, вводя в произвольный момент времени $t = t^*$ начальные возмущающие смещения $u^\circ, v^\circ, w^\circ$.

Для усилий и моментов оболочки толщиной $2h$ с учетом уравнения (1.4) для T_1, T_2, S, M_1, M_2, H получим известные выражения, из которых приводим только первые

$$T_1 = 2h \left[\alpha_{11} \left(A - \frac{\sigma_i}{\varepsilon_i} \right) Q (u - u^\circ, v - v^\circ, w - w^\circ) + \right. \\ \left. + \frac{4}{3} \frac{\sigma_i}{\varepsilon_i} \left(u_x - u_x^\circ + \frac{v_y - v_y^\circ}{2} + \frac{w - w^\circ}{R} \right) \right] \quad (1.4)$$

$$M_1 = -\frac{2}{3} h^3 \left[\alpha_{11} \left(A - \frac{\sigma_i}{\varepsilon_i} \right) \Lambda (w - w^\circ) + \right. \\ \left. + \frac{4}{3} \frac{\sigma_i}{\varepsilon_i} (w_{xx} - w_{xx}^\circ + \frac{w_{yy} - w_{yy}^\circ}{2}) \right] \quad (1.5)$$

Здесь

$$Q (u - u^\circ, v - v^\circ, w - w^\circ) = \alpha_{11} (u_x - u_x^\circ) + \alpha_{22} (v_y - v_y^\circ) + \\ + \alpha_{22} (w - w^\circ) / R + \alpha_{12} (u_y - u_y^\circ + v_x - v_x^\circ) \\ \Lambda = \alpha_{11} \frac{\partial^2}{\partial x^2} + 2\alpha_{12} \frac{\partial}{\partial x} \frac{\partial}{\partial y} + \alpha_{22} \frac{\partial^2}{\partial y^2}, \quad \alpha_{ij} = \frac{\sigma_{ij}}{\sigma_i}$$

Уравнения движения оболочки без учета инерционных членов имеют вид

$$\frac{\partial T_1}{\partial x} + \frac{\partial S}{\partial y} = 0, \quad \frac{\partial T_2}{\partial y} + \frac{\partial S}{\partial x} = 0 \quad (1.6) \\ - \frac{T_2}{R} + \frac{\partial^2 M_1}{\partial x^2} + \frac{\partial^2 M_2}{\partial y^2} + 2 \frac{\partial^2 H}{\partial x \partial y} + T_1^\circ \frac{\partial^2 w}{\partial x^2} + T_2^\circ \frac{\partial^2 w}{\partial y^2} + 2S^\circ \frac{\partial^2 w}{\partial x \partial y} = 0$$

Введем функцию напряжений Φ , полагая

$$T_1 = \frac{\partial^2 \Phi}{\partial y^2}, \quad T_2 = \frac{\partial^2 \Phi}{\partial x^2}, \quad S = -\frac{\partial^2 \Phi}{\partial x \partial y}$$

Применяя операторы

$$\frac{\partial^2}{\partial y^2} = \frac{1}{2} \frac{\partial^2}{\partial x^2}, \quad \frac{\partial^2}{\partial x^2} = \frac{1}{2} \frac{\partial^2}{\partial y^2}, \quad -3 \frac{\partial^2}{\partial x \partial y}$$

соответственно к первому, второму и третьему соотношениям (1.4) и складывая их, получим уравнение

$$\Delta \Delta \Phi = 2h \left[\left(A - \frac{\sigma_i}{\varepsilon_i} \right) \Lambda_1 Q + \frac{\sigma_i}{\varepsilon_i} \frac{w_{xx} - w_{xx}^\circ}{R} \right] \quad (1.7)$$

где

$$\Lambda_1 = \alpha_{11} \left(\frac{\partial^2}{\partial y^2} - \frac{1}{2} \frac{\partial^2}{\partial x^2} \right) + \alpha_{22} \left(\frac{\partial^2}{\partial x^2} - \frac{1}{2} \frac{\partial^2}{\partial y^2} \right) - 3\alpha_{12} \frac{\partial^2}{\partial x \partial y}$$

Умножая первые три уравнения (1.4) на $\alpha_{11} - 1/2\alpha_{22}$, $\alpha_{22} - 1/2\alpha_{11}$, $3\alpha_{12}$ соответственно и складывая их, получим уравнение

$$\Lambda_1 \Phi = 2h A Q \quad (1.8)$$

Исключая Q из уравнений (1.7) и (1.8) и вводя Φ и соотношения (1.4) в третье уравнение (1.6), получим для оболочки в условиях ползучести

систему из двух уравнений

$$\begin{aligned} \Lambda_1 \Lambda_1 \Phi &= A \left[\frac{\varepsilon_i}{\sigma_i} (\Lambda_1 \Lambda_1 \Phi - \Delta \Delta \Phi) + 2h \frac{w_{xx} - w_{xx}^*}{R} \right] \\ \frac{\Phi_{xx}}{R} + \frac{2h^3}{3} \left[\left(A - \frac{\sigma_i}{\varepsilon_i} \right) \Lambda \Lambda (w - w^*) + \frac{4}{3} \frac{\sigma_i}{\varepsilon_i} \Delta \Delta (w - w^*) \right] - 2h \sigma_i \Lambda w &= 0 \end{aligned} \quad (1.9)$$

Для уравнения состояния в виде

$$\dot{p}_i = A \sigma_i^n p_i^{-\alpha} \quad (1.10)$$

уравнения (1.9) в случае круговой цилиндрической оболочки при продольном сжатии в дифференциальной форме, получаемой после раскрытия оператора A , будут иметь вид

$$\begin{aligned} \left(\frac{\alpha}{\xi} + n + \frac{\partial}{\partial \xi} \right) \Lambda_1 \Lambda_1 \Phi - \left(\frac{\alpha}{\xi} + \frac{\partial}{\partial \xi} \right) \left[(1 + \xi) (\Lambda_1 \Lambda_1 \Phi - \Delta \Delta \Phi) + \right. \\ \left. + \frac{2Eh}{R} (w_{xx} - w_{xx}^*) \right] = 0 \quad \left(\xi = \frac{Epi}{\sigma_i} \right) \\ \left(\frac{\alpha}{\xi} + n + \frac{\partial}{\partial \xi} \right) \left[\frac{\Phi_{xx}}{R} - \frac{2Eh^3}{3} \frac{1}{1+\xi} \left(\Lambda \Lambda - \frac{4}{3} \Delta \Delta \right) (w - w^*) - \right. \\ \left. - 2h \sigma_i \Lambda w \right] + \frac{2Eh^3}{4} \left(\frac{\alpha}{\xi} + \frac{\partial}{\partial \xi} \right) \Lambda \Lambda (w - w^*) = 0 \end{aligned} \quad (1.11)$$

В отличие от работы [3], в уравнениях (1.11) при дифференцировании учитывается переменность p_i .

Определим границу устойчивости, пользуясь предложенным в работе [1] критерием $\tau = 0$. Для оболочки в качестве критерия устойчивости в этом случае примем условие $u = v = w = 0$, т. е. условие равенства нулю вектора скорости смещения. Так как в уравнениях (1.11) вместо u и v введена функция Φ , необходимо найти условия, которые должны быть наложены на Φ , для того чтобы выполнялись соотношения $u = v = 0$. Из (1.4) при $u = v = w = 0$ следуют условия

$$\frac{\partial}{\partial t} [\varepsilon_i (\delta \sigma_{ij}^* - \alpha_{ij}^* \delta \sigma_i)] = 0 \quad (1.12)$$

из которых после перехода к функции Φ получим уравнения

$$\begin{aligned} \frac{\partial}{\partial t} \left(\varepsilon_i \Phi_{yy} - \alpha_{11} \int_{-h}^h \delta \sigma_i dz \right) &= 0, \quad \frac{\partial}{\partial t} \left(\varepsilon_i \Phi_{xx} - \alpha_{22} \int_{-h}^h \delta \sigma_i dz \right) = 0 \\ \frac{\partial}{\partial t} \left(-2\varepsilon_i \Phi_{xy} - 2\alpha_{12} \int_{-h}^h \delta \sigma_t dz \right) &= 0 \end{aligned} \quad (1.13)$$

Дважды дифференцируя первое из уравнений (1.13) по x , второе уравнение — дважды по y , а третье — по x и y и складывая их, найдем

$$\frac{\partial}{\partial t} \Lambda \int_{-h}^h \delta \sigma_i dz = 0 \quad (1.14)$$

Будем полагать, что функция Φ может быть представлена в виде; $\Phi = \rho(t) \Phi_1(x, y, z)$; из (1.14) и (1.13) получим условие $\partial(\varepsilon_i, \Phi) / \partial t = 0$.

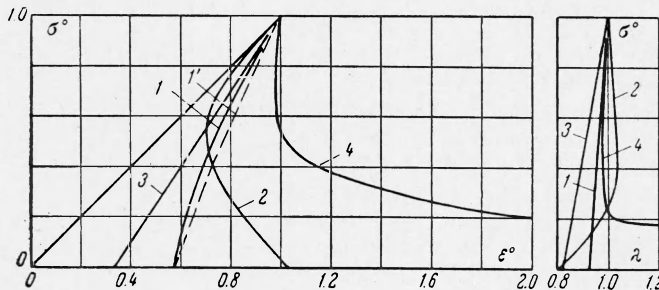
Рассмотрим сначала случай симметричной потери устойчивости, когда w и Φ зависят лишь от координаты x . Считая оболочку достаточно длинной, решение будем искать в виде

$$w = \tau(\xi) \sin(\pi x / l), \quad \Phi = \rho(2Eh/R) (l^2 / \pi^2) \sin(\pi x / l)$$

Условия для границы устойчивости будут иметь следующий вид:

$$\tau^* = 0, \quad (1 + \xi) \rho^* + \rho = 0 \quad (1.15)$$

Полагая $w^* = 0$ в уравнениях (1.11) и используя (1.15), получим систему двух однородных линейных уравнений с неизвестными τ и ρ .



Фиг. 1

Приравнивая нуль определитель этой системы, получим уравнение

$$\begin{aligned} \frac{\alpha}{\xi} \frac{1}{1+\xi} \left(\frac{\alpha}{\xi} + n - \frac{1}{1+\xi} \right) \lambda^4 - \frac{1}{2} \sigma^o \lambda^2 \left(\frac{\alpha}{\xi} + n \right) \left[3 \frac{\alpha}{\xi} + \frac{1}{1+\xi} \left(\frac{\alpha}{\xi} + n - \frac{1}{1+\xi} \right) \right] + \\ + \frac{1}{16} \left[3 \frac{\alpha}{\xi} + \frac{1}{1+\xi} \left(\frac{\alpha}{\xi} + n - \frac{1}{1+\xi} \right) \right]^2 = 0 \quad (1.16) \\ \left(\lambda^2 = \frac{l^2}{l_e^2} = \frac{3l^2}{2Rh\pi^2}, \quad \sigma^o = \frac{\sigma}{\sigma_e}, \quad \sigma_e = \frac{4Eh}{3R} \right) \end{aligned}$$

Из уравнения (1.16) при заданных постоянных α и n нужно найти, меняя λ , наименьшее значение ξ . Это значение будет определяться формулой

$$\sigma^{o2} = \left[\frac{\alpha}{\xi} \frac{1}{1+\xi} \left(\frac{\alpha}{\xi} + n - \frac{1}{1+\xi} \right) \right] \left(\frac{\alpha}{\xi} + n \right)^{-2} \quad (1.17)$$

На фигуре кривая $1'$ получена согласно (1.17) при $\alpha = 1$, $n = 3$. По горизонтальной оси фигуры отложена величина σ^o , а по вертикальной оси

$$\varepsilon^o = \frac{E\varepsilon_i}{\sigma_e} = (1 + \xi) \sigma^o$$

Пунктирной кривой $1'$ показана граница устойчивости, полученная в работе [3], в которой при выводе критерия устойчивости не учитывалось изменение ρ со временем.

Как видно из графика, учет изменения ρ со временем в рассматриваемом случае приводит к незначительной поправке.

Рассматривая общий случай потери устойчивости, будем искать решение в виде

$$w = \tau \sin \frac{\pi x}{l} \sin \frac{my}{R}, \quad \Phi = \rho (2Eh/R) \sin \frac{\pi x}{l} \sin \frac{my}{R}$$

Полагая, как и ранее, $\tau^* = 0$ и $\rho^* = -\rho / (1 + \xi)$, для ξ получим уравнение

$$\begin{aligned} B(\xi) \alpha \xi^{-1} \psi^2 + [\alpha \xi^{-1} (1 - \varphi^2) + B(\xi) \varphi^2] \left[\frac{1}{3} (\alpha \xi^{-1} - B(\xi)) (1 + \varphi)^2 + \right. \\ \left. + B(\xi) - (\alpha \xi^{-1} + n) 2\sigma^o \psi \right] = 0 \quad (1.18) \end{aligned}$$

Здесь

$$B(\xi) = \frac{1}{1+\xi} \left(\frac{\alpha}{\xi} + n - \frac{1}{1+\xi} \right), \quad q^2 = \frac{2}{3} \frac{h}{R} m^2$$

$$\varphi = \frac{1 - 2\lambda^2 q^2}{2(1 + \lambda^2 q^2)}, \quad \Psi = \frac{\lambda^2}{(1 + \lambda^2 q^2)^2}$$

При всех значениях $0 < \sigma^\circ < 1$ величина ξ в формуле (1.18) достигает наименьшего значения при $\varphi = 1/2$, что соответствует симметричной форме потери устойчивости.

§ 2. Найдем границу устойчивости для сжатой оболочки, используя предложенный в работе [2] критерий $\tau^* = 0$. Воспользуемся уравнениями, полученными в предыдущем параграфе. Подставляя $\xi = \xi^*$ в уравнения (1.11), получим два уравнения, содержащие ξ^* .

Дифференцируя (1.11) по ξ и подставляя в них $\xi = \xi^*$, будем иметь еще два уравнения.

Два уравнения получим, используя уравнения, описывающие начальное состояние оболочки в момент времени $t = t^*$, когда $\xi = \xi^*$

$$\Delta\Delta\Phi^* - \frac{2Eh}{R}(w_{xx}^* - w_{xx}^\circ) = 0$$

$$\frac{\Phi_{xx}^*}{R} + \frac{8Eh^3}{R}\Delta\Delta(w^* - w^\circ) - 2h\sigma_i \Lambda w^* = 0 \quad (2.1)$$

Накладывая на прогиб условие $w = 0$ при $\xi = \xi^*$, получим вместе с другими шестью уравнениями систему семи однородных уравнений с семью неизвестными, содержащую в качестве параметра ξ^* .

Заметим, что при использовании критерия работы [2] достаточно накладывать условие лишь на w . На Φ никаких условий накладывать не требуется.

Для случая симметричной потери устойчивости оболочки, сжатой продольными напряжениями, будет разыскивать решение системы в виде

$$w = \tau_1 \sin \frac{\pi x}{l}, \quad w_\xi = \tau_2 \sin \frac{\pi x}{l}, \quad w_{\xi\xi} = \tau_3 \sin \frac{\pi x}{l}, \quad w^\circ = \tau^\circ \sin \frac{\pi x}{l}$$

$$\Phi = \rho_1 \sin \frac{\pi x}{l}, \quad \Phi_\xi = \rho_2 \sin \frac{\pi x}{l}, \quad \Phi_{\xi\xi} = \rho_3 \sin \frac{\pi x}{l}$$

Приравнивая нуль определитель системы, получим уравнение

$$\sigma^\circ = \frac{D_1(\xi^*) \lambda^8 + D_2(\xi^*) \lambda^4 + D_3(\xi^*)}{D_4(\xi^*) \lambda^6 + D_5(\xi^*) \lambda^2} \quad (2.2)$$

где D_1, D_2, D_3, D_4, D_5 находятся при раскрытии определителя.

Для каждого значения σ° , меняя λ , можно получить наименьшее значение ξ^* .

На фигуре 1 кривая 2 показывает вычисленную по формуле (2.2) зависимость ξ^* от σ° для $\alpha = 1, n = 3$.

§ 3. Запишем уравнение состояния в виде

$$p_i = g(p_i, \sigma_i) \sigma_i \quad (3.1)$$

и предположим, что между составляющими тензора скоростей деформаций ползучести p_{ij} и составляющими девиатора напряжений σ_{ij}^* имеют место соотношения теории течения

$$p_{ij} = \frac{3}{2} g(p_i, \sigma_i) \sigma_{ij}^*, \quad p_{ij} = \varepsilon_{ij} - \frac{1}{G} \sigma_{ij}^* \quad (3.2)$$

Интенсивности напряжений и скоростей деформаций ползучести выражаются так

$$\sigma_i^2 = \frac{3}{2} \sigma_{ij}^* \sigma_{ij}^*, \quad p_i^* = \frac{2}{3} p_{ij}^* p_{ij}^*, \quad p_i = \int_0^t p_i^* dt \quad (3.3)$$

Варьируя (3.1) и (3.2), получим уравнения для малых приращений по толщине оболочки δp , $\delta\sigma$, $\delta\varepsilon$

$$\begin{aligned} \delta p_i^* &= a\delta p_i + g(b+1)\delta\sigma_i \left(a = \sigma_i \frac{\partial g}{\partial p_i}, \quad b = \frac{\sigma_i}{g} \frac{\partial g}{\partial \sigma_i} \right) \\ \delta\varepsilon_{ij}^* - \frac{1}{2G} \delta\sigma_{ij}^* &= \frac{3}{2} g\delta\sigma_{ij}^* + \frac{3}{2} \alpha_{ij}^* (a\delta p_i + g\delta\sigma_i) \end{aligned} \quad (3.4)$$

Для того чтобы определить критическую деформацию оболочки по критерию $\tau = 0$, рассмотрим, следуя [4], движение оболочки в условиях ползучести после воздействия некоторого возмущения, вызвавшего к моменту времени, при котором $p_i = p_i^*$, некоторые смещения w^* , u^* , v^* и деформацию ползучести δp_i^* и выделим начальные возмущения, для которых при некотором значении p_i обращается в нуль вектор скорости смещения. Переходя к переменной p_i и интегрируя при начальных условиях

$$\delta p_i = \delta p_i^*, \quad \delta\sigma_{ij}^* = \delta\sigma_{ij}^{**} \text{ при } p_i = p_i^*$$

найдем, что

$$\delta p = \frac{g}{g^*} \delta p^* + \frac{g}{\sigma_i} \int_{p^*}^p \frac{1+b}{g} \delta\sigma_i dp \quad (3.5)$$

$$\begin{aligned} \delta\sigma_{ij}^* &= \delta\sigma_{ij}^{**} e^{\xi^* - \xi} + \frac{2}{3} E e^{-\xi} \int_{p^*}^p e^\xi \frac{\partial \varepsilon_{ij}}{\partial p} dp - \\ &- \alpha_{ij}^* E e^{-\xi} \int_{p^*}^p e^\xi \left[\frac{a}{g^*} \delta p^* + b\delta\sigma_i + \frac{a}{\sigma_i} \int_{p^*}^p \frac{1+b}{g} \delta\sigma_i dp \right] \frac{dp}{\sigma_i} \end{aligned} \quad (3.6)$$

$$(\xi^* = E p_i^* / \sigma_i, \quad p = p_i, \quad p^* = p_i^*, \quad \delta p^* = \delta p_i^*)$$

Используя соотношения (3.6), можно найти выражения моментов и усилий G_1 , G_2 , H , N_1 , N_2 , S в оболочке толщиной

$$\begin{aligned} G_1 &= G_1^* e^{\xi^* - \xi} - \frac{EP^*}{g^*} \alpha_{11} e^{-\xi} \int_{p^*}^p e^\xi \frac{\partial g}{\partial p} dp - \\ &- e^{-\xi} \int_{p^*}^p e^\xi \left[\frac{D}{2} \frac{\partial}{\partial p} (2w_{xx} + w_{yy}) + \alpha_{11} E L(M) \right] dp \\ (G_2 &= \dots, \quad H = \dots) \end{aligned} \quad (3.7)$$

$$\begin{aligned} N_1 &= N_1^* e^{\xi^* - \xi} - \frac{EQ^*}{g^*} \alpha_{11} e^{-\xi} \int_{p^*}^p e^\xi \frac{\partial g}{\partial p} dp + \\ &+ \frac{4}{3} E h e^{-\xi} \int_{p^*}^p e^\xi \left[\frac{\partial}{\partial p} (2u_x + v_y + \frac{w}{R}) - \frac{3}{4h} \alpha_{11} L(N) \right] dp \\ (N_2 &= \dots, \quad S = \dots) \end{aligned} \quad (3.8)$$

Здесь

$$N = (\alpha_{11} - \frac{1}{2}\alpha_{22}) N_1 + (\alpha_{22} - \frac{1}{2}\alpha_{11}) N_2 + 3\alpha_{12} S$$

$$L(M) = \frac{b}{\sigma_i} M + \frac{a}{\sigma_i^2} \int_{p^*}^p \frac{1+b}{g} M dp$$

$$M = (\alpha_{11} - \frac{1}{2}\alpha_{22}) G_1 + (\alpha_{22} - \frac{1}{2}\alpha_{11}) G_2 + 3\alpha_{12} H$$

$$P^* = \int_{-h}^h \delta p^* z dz, \quad Q^* = \int_{-h}^h \delta p^* dz$$

Введем снова функцию Φ . Применив те же операторы, что и в § 2, к первому, второму и третьему уравнениям (3.8) и сложив их, получим уравнение движения цилиндрической оболочки

$$\begin{aligned} \Delta \Delta \Phi = & \left[N_{1yy}^* - \frac{1}{2} N_{1xx}^* + N_{2xx}^* - \frac{1}{2} N_{2yy}^* - 3S_{xy}^* \right] e^{\xi^* - \xi} - \\ & - \frac{E\Lambda_1(Q^*)}{g^* D} e^{-\xi} \int_{p^*}^p e^\xi \frac{\partial p}{\partial P} dp + \frac{2Eh}{R} e^{-\xi} \int_{p^*}^p e^\xi \frac{\partial w_{xx}}{\partial P} dp - Ee^{-\xi} \int_{p^*}^p e^\xi L(\Lambda_1 \Lambda_1 \Phi) dp \end{aligned} \quad (3.9)$$

Из третьего уравнения устойчивости (1.6) после подстановки соотношений (3.7) получим, исключая M , второе уравнение движения оболочки

$$\begin{aligned} \frac{1}{D} e^{\xi^* - \xi} (G_{1xx}^* + 2H_{xy}^* + G_{2yy}^*) - \frac{E\Lambda(P^*)}{g^* D} e^{-\xi} \int_{p^*}^p e^\xi \frac{\partial g}{\partial P} + \frac{2h\sigma_i}{D} \Lambda w - \frac{\Phi_{xx}}{DR} - \\ - e^{-\xi} \int_{p^*}^p e^\xi \left[\Delta \Delta \frac{\partial w}{\partial P} + \frac{Eb}{\sigma_i} T + \frac{Ea}{\sigma_i^2} \int_{p^*}^p \frac{1+b}{g} T dp \right] dp = 0 \end{aligned} \quad (3.10)$$

$$\begin{aligned} T = & \frac{1}{D} e^{\xi^* - \xi} \Lambda M^* - \frac{1}{D} e^{\xi^* - \xi} (G_{1xx}^* + 2H_{xy}^* + G_{2yy}^*) - \\ & - \frac{2h\sigma_i}{D} \Lambda w + \frac{\Phi_{xx}}{DR} + e^{-\xi} \int_{p^*}^p e^\xi \left[\Delta \Delta \frac{\partial w}{\partial P} - \frac{3}{4} \Lambda \Lambda \frac{\partial w}{\partial P} \right] dp \end{aligned}$$

Рассматривая начальные возмущения, получаемые в результате ползучести под действием внешних нагрузок, после варьирования второго из соотношений (3.3), получим

$$\delta p_i^* = \alpha_{ij}^* \delta p_{ij}^* \quad (3.11)$$

Пользуясь соотношениями (3.11), находим выражения для P^* и Q^*

$$\begin{aligned} P^* = & \frac{2}{3} h^3 \Lambda w^* - M^*/E \\ Q^* = & 2h [\alpha_{11} u_x^* + \alpha_{12} (u_y^* + v_x^*) + \alpha_{22} (v_y^* + w^*/R)] - N^*/E \end{aligned} \quad (3.12)$$

Выразим начальные значения моментов и сил через перемещения формулами

$$\begin{aligned} G_1^* = & -\frac{1}{2} k D (2w_{xx}^* + w_{yy}^*), \quad N_1^* = \frac{4}{3} k_1 E h (2u_x^* + v_y^* + w^*/R) \\ (G_2^* = \dots, H^* = \dots, N_2^* = \dots, S^* = \dots) \end{aligned} \quad (3.13)$$

Формулы (3.13) удовлетворяют условиям равновесия и отличаются от упругих соотношений для сил и моментов только коэффициентами k и k_1 , учитывающими релаксацию за счет начальной ползучести. Из уравнений (3.8), (3.12) и (3.13) получим

$$Q^* = \frac{\Lambda_1 \Phi^*}{E} \left(\frac{1}{k_1} - 1 \right), \quad M^* = -\frac{3}{4} D k \Lambda w^* \quad (3.14)$$

Соотношения (3.12) — (3.14) будут начальными условиями, определяющими движение оболочки.

Критическое значение p_i по критерию [1] найдем, потребовав, чтобы в начальный момент движения после воздействия возмущений при $p_i = p_i^*$, как и в § 1, выполнялись бы условия $\dot{u} = \dot{v} = \dot{w} = 0$.

В результате находим, что на Φ в этом случае должно быть наложено условие $\partial(\epsilon^2 \Phi) / \partial t = 0$.

В (3.9) и (3.10) положим $p_i = p_i^*$; тогда получим уравнения

$$\Delta \Delta \Phi^* = 2Eh \frac{w_{xx}^*}{R} k_1, \quad k \Delta \Delta w^* - \frac{2h\sigma_i}{D} \Lambda w^* + \frac{\Phi_{xx}^*}{DR} = 0 \quad (3.15)$$

Дифференцируя уравнения (3.9) и (3.10) по p и подставляя в них $p = p^*$ и условия границы устойчивости

$$\left(\frac{\partial w}{\partial p} \right)^* = 0, \quad \left(\frac{\partial \Phi}{\partial p} \right)^* = -\frac{E}{\sigma_i} \Phi^*$$

получим условия устойчивости

$$\begin{aligned} \left(\frac{1}{k_1} - 1 \right) \left(\frac{\partial g}{\partial p} \right)^* + E \left(\frac{\partial g}{\partial \sigma_i} \right)^* &= 0 \\ \frac{2}{3} Eh^3 \left[\frac{\sigma_i}{Eg^*} \left(\frac{\partial g}{\partial p} \right)^* (1 - k) + bk \right] \Lambda w^* + 2h\sigma_i w^* &= 0 \end{aligned} \quad (3.16)$$

Уравнения (3.15), (3.16) совместно с условиями на контуре оболочки дают возможность определить собственные функции Φ^* и w^* и собственные значения k и k_1 . Задавая начальные условия путем наложения некоторых условий на k и k_1 , получим границу устойчивости.

Рассматривая симметричный случай потери устойчивости при продольном сжатии, будем разыскивать w^* и Φ^* в виде синусоиды. Уравнения (3.15) дадут систему однородных уравнений, приравняв нулю определитель которой, получим

$$k_1 \lambda^4 - 2\sigma^0 \lambda^2 + k = 0 \quad (3.17)$$

Для уравнения состояния в форме (1.13) условия устойчивости (3.16) примут вид

$$\begin{aligned} k_1 [\alpha + (n - 1) \xi^*] - \alpha &= 0 \\ k [\alpha + (n - 1) \xi^*] - \alpha + \frac{8}{3} \lambda^2 \xi^* \sigma^0 &= 0 \end{aligned} \quad (3.18)$$

Определим критическое значение ξ^* из условия максимума k и k_1 , т. е. из условий наименьшей начальной деформации ползучести. Из (3.17) следует, что в точке, где k и k_1 достигают максимума, выполняются соотношения

$$k_1 \lambda^2 = \sigma^0, \quad k = \sigma^0 \lambda^2 \quad (3.19)$$

Решая систему уравнений (3.18) и (3.19), находим для ξ^*

$$\sigma^* = \frac{\alpha}{V [\alpha + (n-1)\xi^*] [\alpha + (n-1)\xi^* + s/\xi^*]} \quad (3.20)$$

Зависимость (3.20) для $\alpha = 1$, $n = 3$ на фигуре показана кривой 3. Рассматривая общий случай потери устойчивости, получим уравнения

$$k_1 \psi^2 - 2\sigma^* \psi + k = 0, \quad k_1 [\alpha + (n-1)\xi^*] - \alpha = 0 \quad (3.21)$$

$$k [\alpha + (n-1)\xi^*] - \alpha + 6 \frac{\psi}{(1+\psi)^2} \xi \sigma^* = 0$$

Определяя, как и ранее, границу устойчивости по максимуму k и k_1 , из уравнений (3.21) находим, что в случае симметричной потери устойчивости σ^* будет наибольшим.

Изложенное выше определение границы устойчивости весьма условно, так как из анализа уравнений (3.17) и (3.18) следует, что, действуя различными начальными возмущениями в начальный момент времени, т. е. задавая различные k и k_1 , можно получить разные границы устойчивости и получить в том числе случай, когда устойчивость по указанному критерию будет теряться сразу же после приложения нагрузки.

Устойчивость оболочки по критерию $\tau'' = 0$ при соотношениях для сложного напряженного состояния в виде теории течения рассмотрена в работе [5]. Для определения границы устойчивости в этом случае, как и в § 2, налагаются условия лишь на прогиб и не накладывается никаких условий на функцию напряжений. На фигуре кривая 4 показывает границу устойчивости, полученную в [5] для $\alpha = 1$, $n = 3$. Эта граница дает наибольшие значения критического времени.

В правой части фигуры приведены значения λ , получающиеся при определении ξ^* . Как видно, при потере устойчивости в условиях ползучести длина волны при всех напряжениях незначительно отличается от длины волны при потере устойчивости упругой оболочки.

В заключение автор благодарит Ю. Н. Работнова и Л. М. Куршина за внимание к работе.

Поступила 22 VI 1963

ЛИТЕРАТУРА

1. Работнов Ю. Н., Шестериков С. А. Устойчивость стержней и пластинок в условиях ползучести. ПММ, 1957, т. XXI, вып. 3.
2. Куршин Л. М. Устойчивость стержней в условиях ползучести. ПМТФ, 1961, № 6.
3. Кузнецов А. П., Куршин Л. М. Решение некоторых задач устойчивости пластин и оболочек в условиях ползучести по теории упрочнения. ПМТФ, 1960, № 4.
4. Куршин Л. М. К решению задач устойчивости пластин в условиях ползучести по квазистатической теории. ПМТФ, 1962, № 5.
5. Кузнецов А. П., Куршин Л. М. Устойчивость круговых цилиндрических оболочек в условиях ползучести. ПМТФ, 1962, № 3.